

6 Torção

O problema da torção tem sido estudado há algumas centenas de anos (Timoshenko 1934). Por uma questão de simplicidade o estudo da torção começa pelas secções cheias, circulares e não circulares, depois as secções finas (fechadas e abertas), incluindo as multicelulares (Figura 6-1). Considera-se em todos os casos que o material é isotrópico.

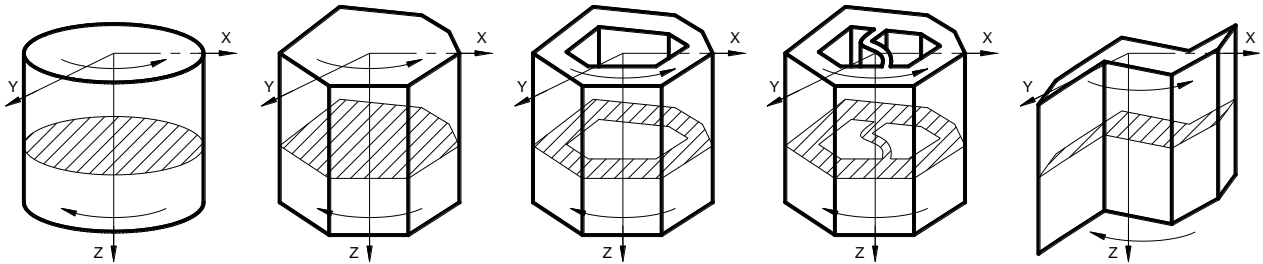


Figura 6-1 – Secções à torção.

Nomenclatura:

θ - Ângulo de rotação/unidade de comprimento

$\psi_{(x,y)}$ - Função de empeno (*warping*)

ϕ - Função de tensão de Prandtl

T, M_t - Momento torsor (*torque*)

J - Constante de torção (*Torsional Constant*)

$G J$ - Rigidez à torção (*Torsional stiffness*)

6.1 Secção Circular

O problema da determinação das tensões num caso da torção de um veio de secção circular resulta num problema estaticamente indeterminado. Considerando a secção transversal no ponto C (Figura 6-2), o diagrama de corpo livre mostra que em cada ponto dessa secção existe uma força elementar dF a qual é perpendicular ao raio (r) em cada ponto (Figura 6-3), e que resulta de tensões de corte (τ) que atuam no plano da secção.

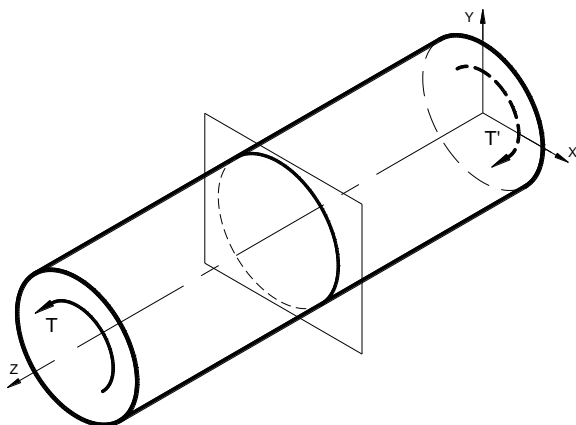


Figura 6-2 – Diagrama de corpo livre

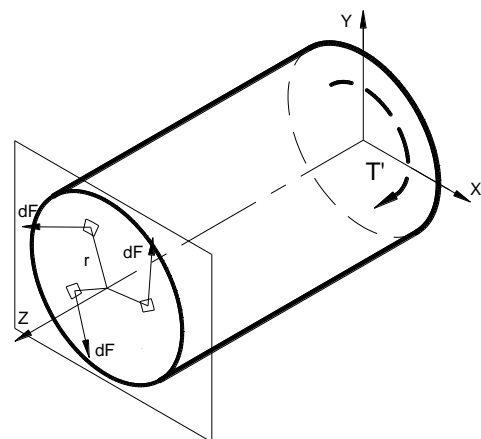


Figura 6-3 – Equilíbrio na secção

Assim, a equação de equilíbrio de momentos é:

$$T \equiv M_t = \int_{\text{Área}} r dF = \int_{\text{Área}} r (\tau dA) \quad (6.1)$$

Sendo o problema estaticamente indeterminado (como varia a tensão de corte na área?), é possível estabelecer o campo de tensões tomando em consideração a deformação associada.

As hipóteses básicas da deformação são simples de compreender uma vez que a geometria e o carregamento são axissimétricos. Considera-se que durante a deformação (Oden and Ripperger 1981):

- Secções transversais perpendiculares ao eixo longitudinal permanecem planas;
- Essas secções não distorcem no seu próprio plano.

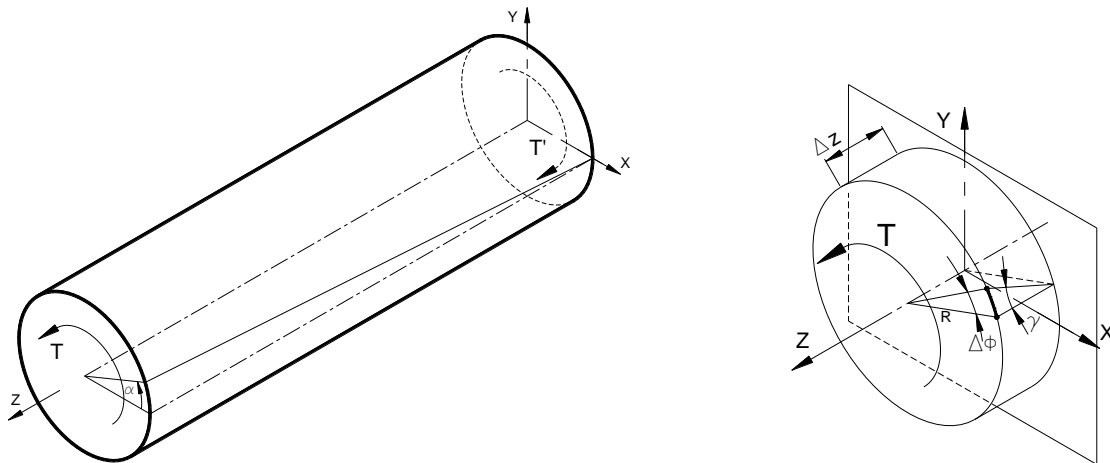


Figura 6-4 – Deformação da secção transversal num veio circular.

A rotação da secção transversal (Figura 6-4) será dada por:

$$\gamma_{z\alpha} \Delta z = r \Delta\phi \Leftrightarrow \gamma_{z\alpha} = r \frac{\Delta\phi}{\Delta z} \quad (6.2)$$

Em que $\gamma_{z\alpha}$ é a distorção no elemento Δz e $\Delta\phi$ o incremento de rotação da secção. Designado $\theta = \frac{\Delta\phi}{\Delta z}$ o ângulo de torção por unidade de comprimento, e aplicando a relação constitutiva tensão de corte-distorção ($\tau_{z\alpha} = G\gamma_{z\alpha}$), tem-se:

$$\tau_{z\alpha} = G\gamma_{z\alpha} = Gr\theta \quad (6.3)$$

Substituindo na Eq. (6.1):

$$M_t = \int_{Area} r(\tau \, dA) = \int_{Area} r(Gr\theta \, dA) = G\theta \int_{Area} r^2 \, dA = GJ\theta \quad (6.4)$$

$$M_t = GJ\theta \quad \Leftrightarrow \quad \theta = \frac{M_t}{GJ}$$

em que G é o Módulo de Elasticidade Transversal, ou Módulo de corte (*Shear Modulus*) e J é a Constante de Torção (*Torsion constant*).

Note-se que no caso da secção circular J coincide com o momento polar de inércia:

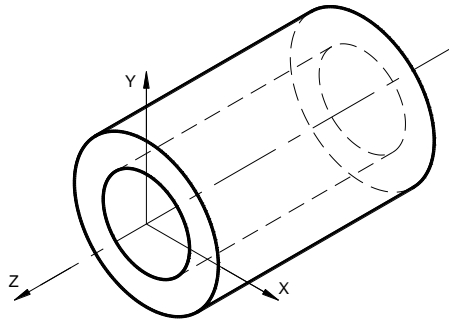
$$J = \int_{Area} r^2 \, dA = \frac{\pi R^4}{2} \quad (6.5)$$

O termo GJ designa-se por Rigidez à Torção (*Torsional stiffness*). As equações (6.6) e (6.7) são essenciais na torção de veios circulares:

$$\tau_{z\alpha} = \frac{M_t r}{J} \quad (6.6)$$

$$\theta = \frac{M_t}{GJ} \quad (6.7)$$

6.1.1 Exemplo 6.1 – Secção Circular



Considere o veio oco de aço ($G=80\text{GPa}$) com diâmetro exterior 40mm e espessura de parede 6mm, sujeito a um momento torsor de 600 N.m.

Calcule o ângulo de torção por unidade de comprimento.

Represente graficamente a tensão de corte na secção, e obtenha o valor máximo.

Resolução

a) Da expressão $\theta = \frac{M_t}{GJ}$ precisamos apenas de calcular

$$J = \frac{\pi(R_{\text{ext}}^4 - R_{\text{int}}^4)}{2} = \frac{\pi(20^4 - 14^4)}{2} = 190983\text{mm}^4 = 191 \times 10^{-9} \text{m}^4$$

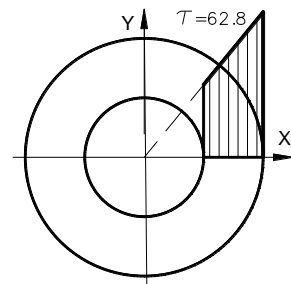
Para obter o resultado

$$\theta = \frac{M_t}{GJ} = \frac{600}{80 \times 10^9 \times 191 \times 10^{-9}} = 0.03927 \text{rad/m} = 2.25^\circ / \text{m}$$

b) O valor máximo da tensão de corte é

$$\tau_{\alpha\alpha \text{máx}} = \frac{M_t r_{\text{ext}}}{J} = \frac{600 \times 20 \times 10^{-3}}{191 \times 10^{-9}} = 62.8 \times 10^6 \text{Pa} = 62.8 \text{MPa}$$

Note-se que a distribuição de tensões de corte é linear na espessura da parede do tubo.



6.2 Secções não-circulares

Para secções não-circulares deixa de existir a simetria axial, e consequentemente algumas das considerações anteriores deixam de ser válidas, particularmente a secção transversal deixa de ser plana, aparecendo o efeito de empeno da secção (*warping*), como no exemplo da Figura 6-5.

Para secções não circulares consideram-se as seguintes aproximações, (Ugural and Fenster 1995) :

- Rotação da Secção transversal, como num movimento de corpo rígido, deslocamentos u e v ;
- Empeno da secção, idêntico para todas as secções ao longo do comprimento do veio, deslocamento w .

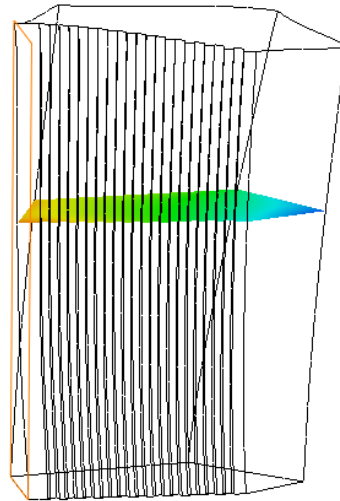


Figura 6-5 - Empeno de secções não circulares.

Assim, o campo de deslocamentos de um ponto P (Figura 6-6 e Figura 6-7) numa secção transversal à cota “z”, é dado genericamente pela Eq. (6.8):

$$u = -\theta z y \quad v = \theta z x \quad w = \theta \psi_{(x,y)} \quad (6.8)$$

onde θ é o ângulo de torção por unidade de comprimento, $\beta = \theta z$ é o ângulo de rotação da secção. O deslocamento w (*warping*) é independente de “z”. $\psi_{(x,y)}$ é a função de empeno. Admitindo pequenas deformações, as componentes do tensor das pequenas deformações, dado por (6.9), resulta na Eq. (6.10). Note-se que:

- Não há extensões normais ($\epsilon_{xx} = \epsilon_{yy} = \epsilon_{zz} = 0$);
- Não há distorção no plano da secção ($\epsilon_{xy} = 0$)

$$\epsilon_{ij} = \frac{1}{2} \left(\frac{\partial u_i}{\partial a_j} + \frac{\partial u_j}{\partial a_i} \right) \quad (6.9)$$

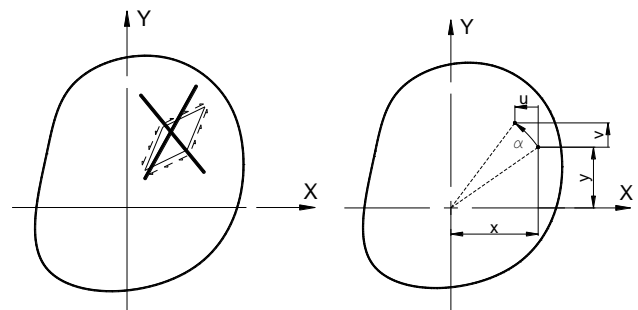


Figura 6-6 – Deformações na secção transversal

$$\begin{aligned} \epsilon_{xx} = \epsilon_{yy} = \epsilon_{zz} = \epsilon_{xy} = 0 \\ 2\epsilon_{zx} = \gamma_{zx} = \theta \left(\frac{\partial \psi}{\partial x} - y \right) \\ 2\epsilon_{zy} = \gamma_{zy} = \theta \left(\frac{\partial \psi}{\partial y} + x \right) \end{aligned} \quad \boldsymbol{\epsilon} = \begin{bmatrix} 0 & 0 & \epsilon_{xz} \\ 0 & 0 & \epsilon_{yz} \\ \epsilon_{zx} & \epsilon_{zy} & 0 \end{bmatrix} = \begin{bmatrix} 0 & 0 & \frac{\gamma_{xz}}{2} \\ 0 & 0 & \frac{\gamma_{yz}}{2} \\ \frac{\gamma_{zx}}{2} & \frac{\gamma_{zy}}{2} & 0 \end{bmatrix} = \begin{bmatrix} 0 & 0 & \frac{\theta}{2} \left(\frac{\partial \psi}{\partial x} - y \right) \\ 0 & 0 & \frac{\theta}{2} \left(\frac{\partial \psi}{\partial y} + x \right) \\ \text{sim.} & & 0 \end{bmatrix} \quad (6.10)$$

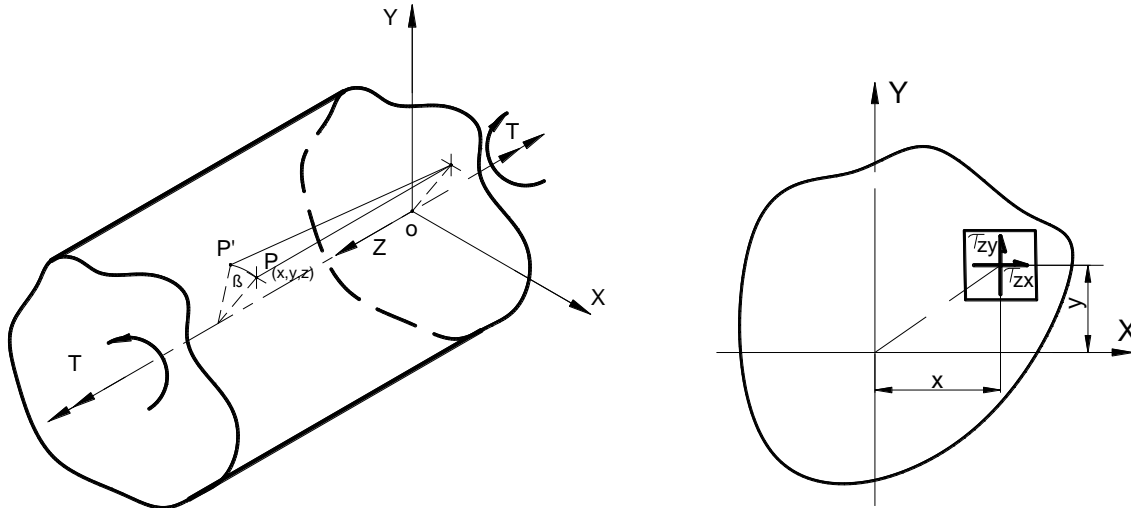


Figura 6-7 – Deslocamento e tensões de um ponto da secção transversal

Considerando materiais isotrópicos, aplicando a relação constitutiva, obtém-se:

$$\begin{aligned} \sigma_{xx} = \sigma_{yy} = \sigma_{zz} = \tau_{xy} &= 0 \\ \tau_{zx} = G\gamma_{zx} = G\theta \left(\frac{\partial \psi}{\partial x} - y \right) \\ \tau_{zy} = G\gamma_{zy} = G\theta \left(\frac{\partial \psi}{\partial y} + x \right) \end{aligned} \quad \sigma = \begin{bmatrix} 0 & 0 & G\theta \left(\frac{\partial \psi}{\partial x} - y \right) \\ 0 & 0 & G\theta \left(\frac{\partial \psi}{\partial y} + x \right) \\ \text{sim.} & & 0 \end{bmatrix} \quad (6.11)$$

Substituindo nas equações de equilíbrio ($\sigma_{ji,j} + F_i = 0$) e considerando nulas as forças volúmicas ($F_i = 0$), permite obter as Eqs (6.12).

$$\begin{cases} \frac{\partial \sigma_{xx}}{\partial x} + \frac{\partial \tau_{yx}}{\partial y} + \frac{\partial \tau_{zx}}{\partial z} = 0 \\ \frac{\partial \tau_{xy}}{\partial x} + \frac{\partial \sigma_{yy}}{\partial y} + \frac{\partial \tau_{zy}}{\partial z} = 0 \\ \frac{\partial \tau_{xz}}{\partial x} + \frac{\partial \tau_{yz}}{\partial y} + \frac{\partial \sigma_{zz}}{\partial z} = 0 \end{cases} \Leftrightarrow \begin{cases} \frac{\partial \tau_{zx}}{\partial z} = 0 \\ \frac{\partial \tau_{zy}}{\partial z} = 0 \\ \frac{\partial \tau_{xz}}{\partial x} + \frac{\partial \tau_{yz}}{\partial y} = 0 \end{cases} \quad (6.12)$$

As duas primeiras mostram que as tensões de corte são independentes de “z”. Pegando nas Eqs. (6.11) e diferenciando τ_{zx} em ordem a “x” e τ_{zy} em ordem a “y” e colocando na terceira equação de (6.12), obtemos a Eq. (6.13) designada como Equação de Laplace.

$$\frac{\partial^2 \psi}{\partial x^2} + \frac{\partial^2 \psi}{\partial y^2} = 0 \quad (6.13)$$

Definindo a Função de Tensão de Prandtl (ϕ , Eq. (6.14)) como:

$$\tau_{xz} = \frac{\partial \phi}{\partial y} \quad \tau_{yz} = -\frac{\partial \phi}{\partial x} \quad (6.14)$$

obtemos a Eq. (6.15):

$$\frac{\partial \phi}{\partial y} = G\theta \left(\frac{\partial \psi}{\partial x} - y \right) \quad -\frac{\partial \phi}{\partial x} = G\theta \left(\frac{\partial \psi}{\partial y} + x \right) \quad (6.15)$$

Diferenciando a primeira em ordem a “y” e a segunda em ordem a “x”, eliminando ψ obtemos a Eq. (6.16):

$$\frac{\partial^2 \phi}{\partial x^2} + \frac{\partial^2 \phi}{\partial y^2} = -2G\theta \quad (6.16)$$

Uma equação do tipo da Eq. (6.16) designa-se por Equação de Poisson.

Desta forma o problema da torção passa a ser a determinação da Função de Tensão de Prandtl, ϕ , com as necessárias condições de fronteira. A dedução das condições de fronteira pode ser consultada em (Boresi, Schmidt et al. 1993) ou (Timoshenko 1934), sendo aqui apresentadas no seu resultado final:

$$\frac{\partial \phi}{\partial y} \frac{dy}{ds} + \frac{\partial \phi}{\partial x} \frac{dx}{ds} = \tau_{xz}(m) - \tau_{yz}(-n) \equiv \frac{d\phi}{ds} = 0 \quad (6.17)$$

O termo $d\phi/ds=0$ significa que ϕ é constante ao longo da fronteira da secção. Os termos “m” e “n” são os cossenos diretores do vetor normal à curva em cada ponto.

No caso de domínios simplesmente conexos a constante pode ser qualquer (por exemplo nula), o que significa que o problema da torção consiste na determinação de ϕ que satisfaz as Eqs. (6.18) e (6.19):

$$\frac{\partial^2 \phi}{\partial x^2} + \frac{\partial^2 \phi}{\partial y^2} = -2G\theta \quad (6.18)$$

$$\phi = 0 \quad \text{na fronteira da secção} \quad (6.19)$$

Para que o equilíbrio se mantenha na secção têm de se verificar as Eqs. (6.20)-(6.22):

$$\sum F_x = 0 \Leftrightarrow \int \tau_{zx} \, dx \, dy = 0 \Leftrightarrow \int \frac{\partial \phi}{\partial y} \, dx \, dy = 0 \quad (6.20)$$

$$\sum F_y = 0 \Leftrightarrow \int \tau_{zy} \, dx \, dy = 0 \Leftrightarrow -\int \frac{\partial \phi}{\partial x} \, dx \, dy = 0 \quad (6.21)$$

$$\sum M_z = T \Leftrightarrow \int (x \tau_{zy} - y \tau_{zx}) \, dx \, dy = T \Leftrightarrow -\int \left(x \frac{\partial \phi}{\partial x} + y \frac{\partial \phi}{\partial y} \right) \, dx \, dy = T \quad (6.22)$$

Observando a Figura 6-8 (c) e considerando uma tira fina de espessura “dy”, como a tensão não varia com “y”, a Eq. (6.21) fica:

$$\int \frac{\partial \phi}{\partial x} \, dx \, dy = \int dy \int \frac{d\phi}{dx} \, dx = \int dy \int_{\phi(A)}^{\phi(B)} d\phi = dy [\phi(B) - \phi(A)] = 0 \quad (6.23)$$

uma vez que ϕ é nula na fronteira. De modo análogo se procede com a Eq. (6.20). A Eq. (6.22) é integrada por partes em cada um dos termos, entre A e B para tiras em “dy”, e entre C e D para tiras em “dx”:

$$\begin{aligned} T &= -\int \left(x \frac{\partial \phi}{\partial x} + y \frac{\partial \phi}{\partial y} \right) \, dx \, dy = -\int \left(x \frac{\partial \phi}{\partial x} \right) \, dx \, dy - \int \left(y \frac{\partial \phi}{\partial y} \right) \, dx \, dy = \\ &= -dy \int \left(x \frac{d\phi}{dx} \right) \, dx - dx \int \left(y \frac{d\phi}{dy} \right) \, dy = -dy \int_{\phi(A)}^{\phi(B)} x \, d\phi - dx \int_{\phi(C)}^{\phi(D)} y \, d\phi = \\ &= -dy \left(x [\phi(B) - \phi(A)] - \int_{x_A}^{x_B} \phi \, dx \right) - dx \left(y [\phi(D) - \phi(C)] - \int_{y_C}^{y_D} \phi \, dy \right) = dy \int_{x_A}^{x_B} \phi \, dx + dx \int_{y_C}^{y_D} \phi \, dy \end{aligned} \quad (6.24)$$

Somando (integrando) todas as tiras e notando que ambos os termos são idênticos, obtém-se a Eq. (6.25):

$$T = 2 \iint \phi \, dx \, dy \quad (6.25)$$

Recuperando a Eq. (6.4), podemos escrever a expressão que nos dá a Constante de Torção (J):

$$T = GJ\theta \Leftrightarrow J = \frac{2}{G\theta} \iint \phi \, dx \, dy \quad (6.26)$$

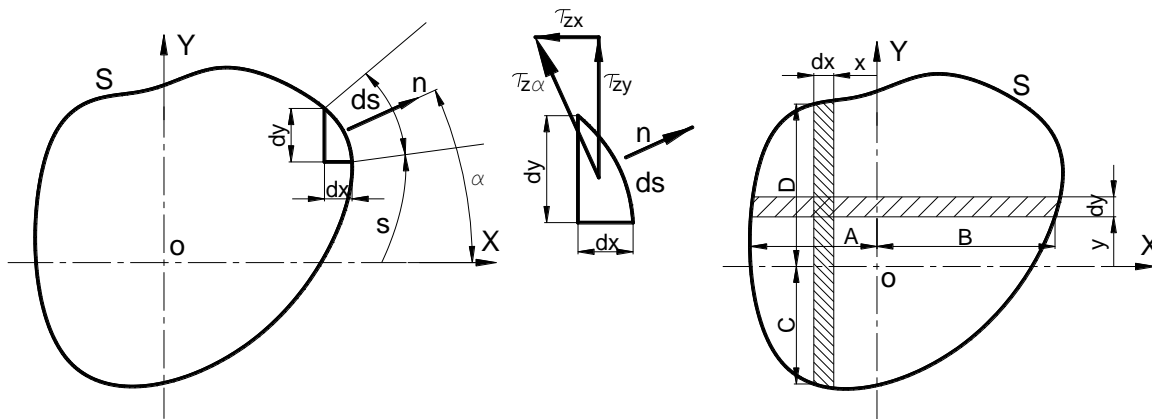


Figura 6-8 – Tensões de corte na secção.

Nas soluções dos problemas seguintes, irá determinar-se a função ϕ que satisfaz as Eqs. (6.18) e (6.19). Começa-se por encontrar a equação que traduz a curva da fronteira na forma $F(x, y) = 0$ (a qual satisfaz imediatamente a condição de ser nula na fronteira) e sugerir uma função ϕ na forma $\phi = C \times F(x, y)$ em que C é uma constante a determinar resolvendo a Eq. (6.18).

6.2.1 Exemplo 6.2 - Secção Elíptica

Considere a secção elíptica da Figura 6-9. Determine as expressões para:

- Função de Tensão de Prandtl
- Constante de Torção, J
- Tensões de corte na secção
- Deslocamentos u, v e w na secção transversal
- Apresente de forma gráfica o empeno da secção

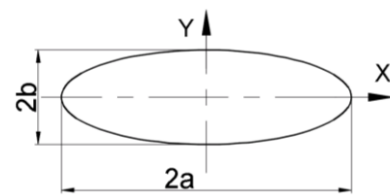


Figura 6-9 - Secção Elíptica

Resolução:

- Começa-se por escrever a equação que define a fronteira de uma secção elíptica: $\frac{x^2}{a^2} + \frac{y^2}{b^2} - 1 = 0$

A Eq. (6.18) pode ser satisfeita considerando como função de Tensão de Prandtl a expressão:

$\phi = C \left(\frac{x^2}{a^2} + \frac{y^2}{b^2} - 1 \right)$ em que C é uma constante. Substituindo na Eq. (6.18) e resolvendo em ordem a C ,

obtemos
$$C = -\frac{a^2 b^2}{(a^2 + b^2)} G\theta$$

e finalmente
$$\phi = -\frac{a^2 b^2 G \theta}{(a^2 + b^2)} \left(\frac{x^2}{a^2} + \frac{y^2}{b^2} - 1 \right)$$

b) Substituindo em (6.25) e fazendo as integrações, obtemos:

$$M_t = -\frac{a^2 b^2 G \theta}{(a^2 + b^2)} \int_{-a}^{+a} \int_{-\frac{b}{a}\sqrt{a^2-x^2}}^{+\frac{b}{a}\sqrt{a^2-x^2}} \left(\frac{x^2}{a^2} + \frac{y^2}{b^2} - 1 \right) dy dx = \frac{\pi a^3 b^3 G \theta}{(a^2 + b^2)}$$

onde $J = \frac{2}{G \theta} \iint \phi dx dy = \frac{\pi a^3 b^3}{(a^2 + b^2)}$ invertendo: $G \theta = \frac{(a^2 + b^2)}{\pi a^3 b^3} M_t$

E finalmente podemos também escrever a Função de Tensão de Prandtl em função do momento torsor aplicado.

$$\phi = \frac{M_t}{\pi a b} \left(\frac{x^2}{a^2} + \frac{y^2}{b^2} - 1 \right)$$

c) As componentes da tensão são calculadas diretamente das expressões da definição:

$$\tau_{xz} = \frac{\partial \phi}{\partial y} = \frac{2 M_t y}{\pi a b^3} \quad \tau_{yz} = -\frac{\partial \phi}{\partial x} = -\frac{2 M_t x}{\pi a^3 b}$$

O ângulo de torção por unidade de comprimento é dado por: $\theta = \frac{a^2 + b^2}{\pi a^3 b^3 G} M_t$

Caso $b < a$, a tensão de corte máxima ocorre nos pontos da fronteira mais

próximos do centróide ($x=0, y=\pm b$) $\tau_{\max} = \frac{2 M_t}{\pi a b^2}$

d) Os deslocamentos podem ser obtidos por integração, apresentando-se aqui o resultado final:

$$u = -\theta z y = -\frac{a^2 + b^2}{\pi a^3 b^3 G} M_t z y \quad v = \theta z x = \frac{a^2 + b^2}{\pi a^3 b^3 G} M_t z x$$

$$w = \theta \psi_{(x,y)} = \frac{b^2 - a^2}{\pi a^3 b^3 G} M_t x y$$

e) Graficamente, o empeno (w , nas expressões anteriores) pode ser representado por isolinhas (hipérbolas $x \cdot y = \text{constante}$, Figura 6-10)

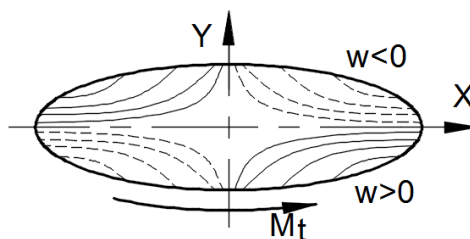


Figura 6-10 - Isolinhas do empeno

Na Figura 6-11 pode-se ver o resultado da simulação numérica (com elementos finitos usando SolidWorks Simulation), da torção de uma secção elítica. Pode-se também observar as isolinhas do deslocamento axial, empeno.

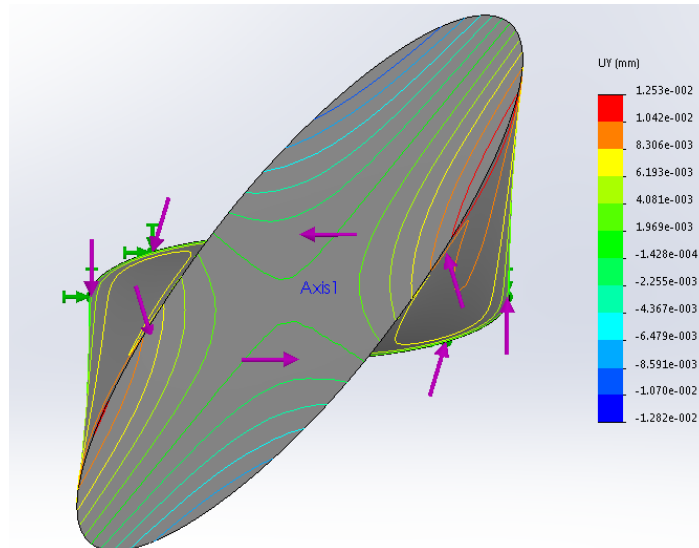
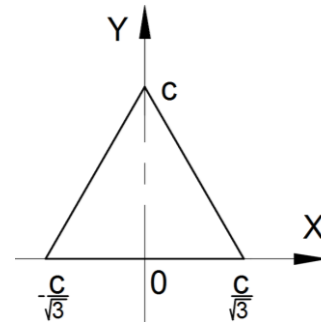


Figura 6-11- Secção Elítica: simulação numérica

6.2.2 Exemplo 6.3 - Secção Triangular

Considere a secção triangular equilátera à torção.

- Obtenha a função de tensão deste problema
- Calcular as tensões de corte. Represente τ_{xz} na linha $x=0$.
- O empeno é dado por $w = -\frac{1}{2} \frac{\theta}{c} (x^3 - 3xy^2 + 2cxy + c^2x)$. Represente as linhas de contorno desta função.



Resolução

a) Os lados do triângulo são dados pelas equações das linhas $y=0; y=\pm\sqrt{3}x+c$, pelo que a função de tensão pode ser dada por:

$$\phi = Ay(y - c - \sqrt{3}x)(y - c + \sqrt{3}x) \quad \text{onde } A = \text{constante}$$

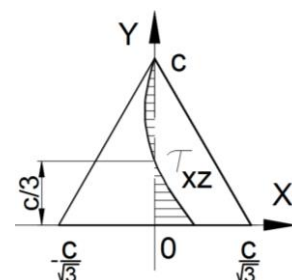
Substituindo a função ϕ na equação $\frac{\partial^2 \phi}{\partial x^2} + \frac{\partial^2 \phi}{\partial y^2} = -2G\theta$ obtemos:

$$\frac{\partial^2 \phi}{\partial x^2} + \frac{\partial^2 \phi}{\partial y^2} = -6Ay + 2A(y - c + \sqrt{3}x) + 2A(y - c - \sqrt{3}x) + 2Ay = -4Ac \Leftrightarrow -4Ac = -2G\theta \Leftrightarrow A = \frac{G\theta}{2c}$$

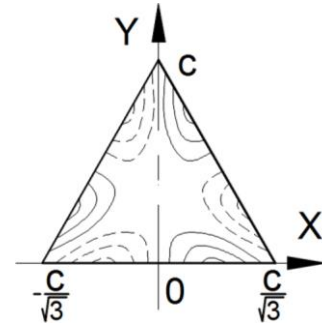
b) as tensões são dadas por:

$$\tau_{xz} = \frac{\partial \phi}{\partial y} = \frac{1}{2} \frac{G\theta}{c} (3y^2 - 3x^2 - 4cy + c^2) \quad \tau_{yz} = -\frac{\partial \phi}{\partial x} = \frac{3G\theta}{c} xy$$

Note-se que as tensões são nulas nos vértices e no centróide $(0, c/3)$, e são máximas a meio de cada um dos lados, ou seja nos pontos da fronteira mais próximos do centróide.



c) Sendo o empeno $w = -\frac{1}{2c} \theta (x^3 - 3xy^2 + 2cxy + c^2x)$, a representação é a da figura junta.



6.2.3 Exemplo 6.4 - Veio Circular com escatel (problema de teste, ver secção 9.6, página 199)

A função de tensão de Prandtl para a secção circular com escatel (*keyway*), Figura 6-12, é dada por:

$$\phi = -C \left(x^2 + y^2 - a^2 - 2Rx + \frac{2Ra^2x}{x^2 + y^2} \right)$$

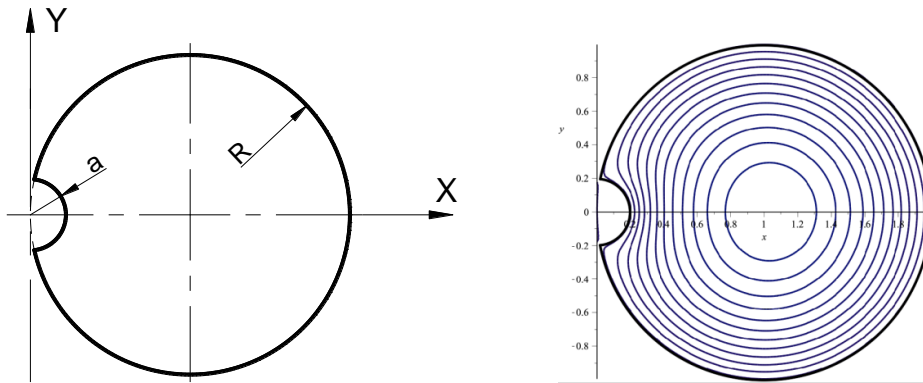


Figura 6-12 - Veio circular com escatel

- Mostre que ϕ é uma função de tensão e calcule a constante C
- Calcule as tensões de corte na secção
- A Figura 6-12 (b) representa isolinhas da função de tensão com $a/R=0.2$. Indique o ponto onde a tensão de corte é mais elevada. Justifique com a figura.
- Obtenha a máxima tensão de corte com $a/R=0.2$.
- Calcule o fator de concentração de tensões, comparando com uma secção circular de raio R.

Resolução

a) A função de tensão deve satisfazer: $\frac{\partial^2 \phi}{\partial x^2} + \frac{\partial^2 \phi}{\partial y^2} = -2G\theta$

$$\frac{\partial \phi}{\partial x} = -C \left(2x - 2R + 2Ra^2 \frac{x^2 + y^2 - 2x^2}{(x^2 + y^2)^2} \right) = -C \left(2x - 2R - 2Ra^2 \frac{x^2 - y^2}{(x^2 + y^2)^2} \right)$$

$$\frac{\partial^2 \phi}{\partial x^2} = -C \left(2 + \frac{4Ra^2x}{(x^2 + y^2)^2} + 2Ra^2 \frac{(x^2 - y^2)2(x^2 + y^2)(2x)}{(x^2 + y^2)^4} \right) = -C \left(2 - \frac{4Ra^2x}{(x^2 + y^2)^2} + \frac{8Ra^2x(x^2 - y^2)}{(x^2 + y^2)^3} \right)$$

$$\frac{\partial \phi}{\partial y} = -C \left(2y - 4Ra^2 \frac{xy}{(x^2 + y^2)^2} \right)$$

$$\frac{\partial^2 \phi}{\partial y^2} = -C \left(2 - 4Ra^2 \frac{x}{(x^2 + y^2)^2} + 4Ra^2 \frac{2xy(x^2 + y^2)(2y)}{(x^2 + y^2)^4} \right) = -C \left(2 - \frac{4Ra^2 x}{(x^2 + y^2)^2} + \frac{16Ra^2 xy^2}{(x^2 + y^2)^3} \right)$$

fazendo $\frac{\partial^2 \phi}{\partial x^2} + \frac{\partial^2 \phi}{\partial y^2} = \dots = -4C = -2G\theta \Leftrightarrow C = \frac{G\theta}{2}$

Na fronteira teremos $\phi = \text{constante}$

Na circunferência maior: $(x - R)^2 + y^2 = R^2 \Leftrightarrow x^2 + y^2 = 2Rx$

Substituindo em $\phi = -C \left(x^2 + y^2 - a^2 - 2Rx + \frac{2Ra^2 x}{x^2 + y^2} \right)$ obtemos

$$-C \left(x^2 + y^2 - a^2 - 2Rx + \frac{2Ra^2 x}{x^2 + y^2} \right) = -C \left(2Rx - a^2 - 2Rx + \frac{2Ra^2 x}{2Rx} \right) = 0$$

Na circunferência menor: $x^2 + y^2 = a^2$

Substituindo em $\phi = -C \left(x^2 + y^2 - a^2 - 2Rx + \frac{2Ra^2 x}{x^2 + y^2} \right)$ obtemos

$$-C \left(x^2 + y^2 - a^2 - 2Rx + \frac{2Ra^2 x}{x^2 + y^2} \right) = -C \left(a^2 - a^2 - 2Rx + \frac{2Ra^2 x}{a^2} \right) = 0$$

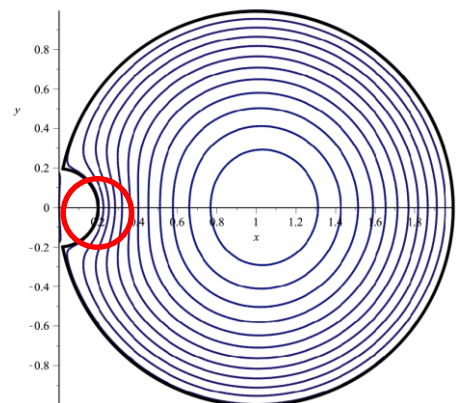
Concluindo-se portanto que a função dada cumpre os requisitos.

b) As tensões são dadas por:

$$\tau_{xz} = \frac{\partial \phi}{\partial y} = C \left(2y - \frac{4Ra^2 xy}{(x^2 + y^2)^2} \right) = -G\theta y \left(1 - \frac{2Ra^2 x}{(x^2 + y^2)^2} \right)$$

$$\tau_{yz} = -\frac{\partial \phi}{\partial x} = C \left(2x - 2R - 2Ra^2 \frac{x^2 - y^2}{(x^2 + y^2)^2} \right) = G\theta \left(x - R - Ra^2 \frac{x^2 - y^2}{(x^2 + y^2)^2} \right)$$

c) A tensão de corte máxima ocorre no ponto $(a,0)$. Tal deve-se ao facto de a tensão de corte ser tangente (é a derivada) às curvas de nível e na direção perpendicular a essas curvas, portanto a máxima tensão de corte ocorre onde as curvas estão mais próximas umas das outras.



d) as tensões no ponto (a,0) são:

$$\tau_{xz_{(a,0)}} = -G\theta y \left(1 - \frac{2Ra^2x}{(x^2+y^2)^2} \right)_{(a,0)} = 0$$

$$\tau_{yz_{(a,0)}} = G\theta \left(x - R - Ra^2 \frac{x^2-y^2}{(x^2+y^2)^2} \right)_{(a,0)} = G\theta \left(a - R - Ra^2 \frac{a^2}{(a^2)^2} \right) = G\theta(a-2R)$$

para a/R=0.2, obtemos

$$\tau_{yz_{(a,0)}} = G\theta(a-2R) = G\theta R \left(\frac{a}{R} - 2 \right) = G\theta R(0.2-2) = -1.8G\theta R$$

e) Para uma secção circular, a máxima tensão de corte (ver Eq. (6.6)) é dada pela expressão:

$$\tau_{\text{circular,max}} = \frac{TR}{J} = \frac{JG\theta R}{J} = G\theta R$$

Assim o fator de concentração de tensões é (aqui o sinal negativo é irrelevante) $k = \frac{\tau_{yz_{(a,0)}}}{\tau_{\text{circular,max}}} = \frac{1.8G\theta R}{G\theta R} = 1.8$

6.2.4 Exemplo 6.5 - Problema Proposto

Verificar que $\phi = C(x^2 + y^2 - a^2)$ satisfaz $\theta = \frac{M_t}{Gl_p}$ e $\tau_{zx_{\text{max}}} = \frac{M_t a}{l_p}$ onde l_p é o momento polar de inércia da secção transversal, e “a” é o raio do círculo.

Resolução

A equação tem de satisfazer $\frac{\partial^2 \phi}{\partial x^2} + \frac{\partial^2 \phi}{\partial y^2} = -2G\theta$ $\frac{\partial^2 \phi}{\partial x^2} + \frac{\partial^2 \phi}{\partial y^2} = 4C = -2G\theta \Leftrightarrow C = -\frac{G\theta}{2}$

assim
$$\phi = -\frac{G\theta}{2}(x^2 + y^2 - a^2)$$

$$M_t = 2 \iint \phi \, dx \, dy = 2 \int_{-a}^{+a} \int_{-\sqrt{a^2-x^2}}^{+\sqrt{a^2-x^2}} -\frac{G\theta}{2}(x^2 + y^2 - a^2) \, dy \, dx = -G\theta \int_{-a}^{+a} \int_{-\sqrt{a^2-x^2}}^{+\sqrt{a^2-x^2}} (x^2 + y^2 - a^2) \, dy \, dx$$

$$M_t = \frac{1}{2} \pi a^4 G\theta \equiv JG\theta$$

onde $J = \frac{1}{2} \pi a^4 \equiv l_p$ e assim $\theta = \frac{M_t}{Gl_p}$

e portanto
$$\phi = -\frac{G\theta}{2}(x^2 + y^2 - a^2) = -\frac{M_t}{2l_p}(x^2 + y^2 - a^2)$$

As tensões são calculadas por $\tau_{xz} = \frac{\partial \phi}{\partial y} = -\frac{M_t}{I_p} y$ e o valor máximo é $\tau_{zx_{\max}} = \frac{M_t a}{I_p}$

6.3 Secção Retangular Fina

Embora os perfis retangulares sejam usados sobretudo em tração/compressão uniaxial e em flexão, é também comum que tenham de suportar esforços de torção. Frequentemente estes perfis têm parede fina o que justifica o seu estudo. Os detalhes desta matéria podem ser vistos nas referências já mencionadas.

Considere-se a secção retangular $2c \times 2b$, em que $c \ll b$ (Figura 6-13). Usando a analogia da membrana (ver (Boresi, Schmidt et al. 1993) ou (Ugural and Fenster 1995)), a Função de Tensão de Prandtl sugerida tem a forma da Eq. (6.27). Esta função é aproximada, respeita a condição de fronteira ($\phi = 0$) em $y = \pm c$ mas não respeita a condição de fronteira em $x = \pm b$.

$$\phi = G\theta c^2 \left[1 - \left(\frac{y}{c} \right)^2 \right] \quad (6.27)$$

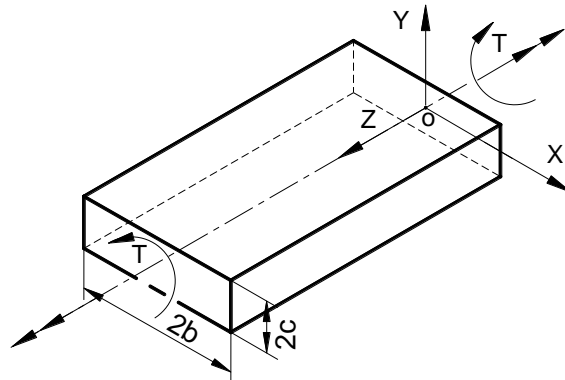


Figura 6-13 - Secção retangular fina à torção.

Pelo que as tensões são:

$$\tau_{zx} = \frac{\partial \phi}{\partial y} = -2G\theta y \quad \tau_{zy} = -\frac{\partial \phi}{\partial x} = 0 \quad (6.28)$$

O momento torsor é:

$$T = 2 \iint \phi \, dx \, dy = 2 \int_{-b}^{+b} \int_{-c}^{+c} G\theta c^2 \left[1 - \left(\frac{y}{c} \right)^2 \right] \, dx \, dy = \frac{1}{3} G\theta (2b)(2c)^3 \quad (6.29)$$

Como $T = JG\theta$, obtém-se $J = \frac{1}{3} (2b)(2c)^3 \quad (6.30)$

Ou ainda: $\theta = \frac{3T}{G(2b)(2c)^3} \quad (6.31)$

A tensão de corte máxima, obtida em $y = \pm c$:

$$\tau_{\max} = \frac{3T}{(2b)(2c)^2} = \frac{2Tc}{J} \quad (6.32)$$

6.4 Secção Retangular

O caso da secção retangular é aproximado a partir de um desenvolvimento em série. Também aqui os detalhes devem ser consultados em (Boresi, Schmidt et al. 1993) ou (Timoshenko 1934). De forma resumida, para uma secção retangular $2b \times 2c$ (Figura 6-14), as expressões são semelhantes ao caso anterior.

$$\theta = \frac{T}{k_1 G (2b)(2c)^3} \tag{6.33}$$

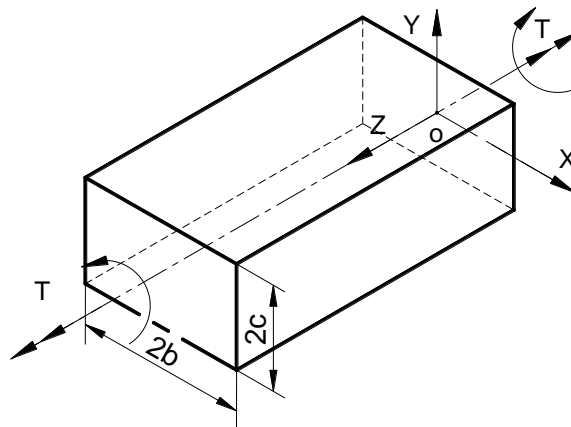


Figura 6-14 - Secção retangular à torção

A tensão de corte máxima, obtida em $y = \pm c$:

$$\tau_{\text{máx}} = \frac{T}{K_2 (2b)(2c)^2} \tag{6.34}$$

A constante de torção:

$$J = K_1 (2b)(2c)^3 \tag{6.35}$$

Os valores dos parâmetros K_1 e K_2 são retirados da Tabela 6.1(Boresi, Schmidt et al. 1993).

Tabela 6.1 - Parâmetros de torção para secções retangulares

b/c	1	1.5	2	2.5	3	4	6	10	∞
K_1	0.141	0.196	0.229	0.249	0.263	0.281	0.299	0.312	0.333
K_2	0.208	0.231	0.246	0.256	0.267	0.282	0.299	0.312	0.333

6.4.1 Exemplo 6.6 - Secção Retangular

Considere a Figura 6-15. A viga é feita de um Aço ($G=77.5$ GPa) e está sujeita a dois momentos torsores, $T_1=750$ N.m e $T_2=400$ N.m. Considere que o suporte impede a rotação da secção transversal mas não evita o empeno. Determine a máxima tensão de corte e o ângulo de torção na extremidade livre.

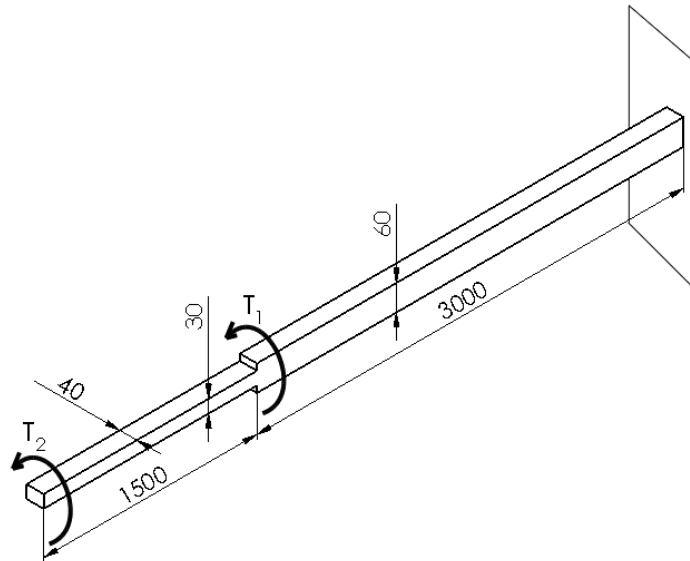


Figura 6-15- Viga retangular à torção

Resolução

Para a secção 60 x 40, temos $\frac{b}{c} = \frac{30}{20} = 1.5$. Da Tabela 6.1 retiramos $k_1=0.196$ e $k_2=0.231$. Esta secção (Figura 6-16) está sujeita ao momento total $T = T_1 + T_2 = 1150 \text{ N.m}$. A tensão de corte máxima será:

$$\tau_{\text{máx}} = \frac{T}{K_2 (2b)(2c)^2} = \frac{1150}{0.231(60)(40)^2 \times 10^{-9}} = 51.9 \text{ MPa}$$

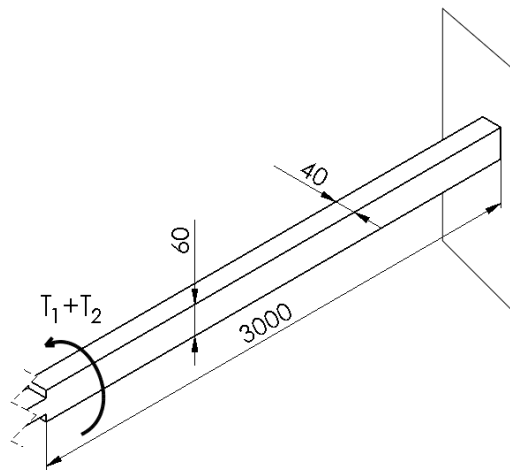


Figura 6-16 - Troço 60 x 40 mm

Para a secção 40 x 30 (Figura 6-17), temos $\frac{b}{c} = \frac{20}{15} = 1.33$. Da Tabela 6.1 retiramos, por interpolação linear, $k_1=0.178$ e $k_2=0.223$. Esta secção está sujeita ao momento total $T_2=400 \text{ N.m}$.

A tensão de corte máxima será:

$$\tau_{\text{máx}} = \frac{T_2}{K_2 (2b)(2c)^2} = \frac{400}{0.223(40)(30)^2 \times 10^{-9}} = 49.8 \text{ MPa}$$

O ângulo de torção total será a soma do ângulo de torção de cada um dos troços:

$$\alpha = \sum_i \frac{T_i l_i}{G_i J_i} = \frac{1150 \times 3}{0.196 (77.5 \times 10^9) (60) (40)^3 \times 10^{-12}} + \frac{400 \times 1.5}{0.178 (77.5 \times 10^9) (40) (30)^3 \times 10^{-12}} = 0.0994 \text{ rad}$$

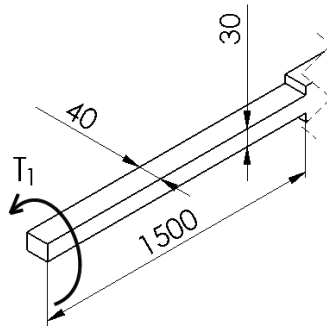


Figura 6-17 - Troço 40 x 30mm.

6.5 Secção Fina Composta de Vários Segmentos

No caso de a secção transversal ser composta de vários segmentos (Figura 6-18), a constante de torção pode ser obtida pela expressão:

$$J = C \frac{1}{3} \sum_{i=1}^n (2b_i)(2c_i)^3 = C \frac{1}{3} \sum_{i=1}^n (l_i)(t_i)^3 \quad (6.36)$$

Onde C é um coeficiente de correlação. Se $b_i > 10c_i$ para todos os segmentos da secção considera-se $C \approx 1$, caso contrário recomenda-se $C = 0.91$. Na expressão (6.36) tem-se $b_i = l_i / 2$ e $c_i = t_i / 2$ como na Figura 6-18.

A tensão de corte máxima é dada a partir da Eq. (6.32) por:

$$\tau_{\text{máx}} = \frac{T t_{\text{máx}}}{J} \quad (6.37)$$

Em que $t_{\text{máx}}$ é a espessura máxima na secção.

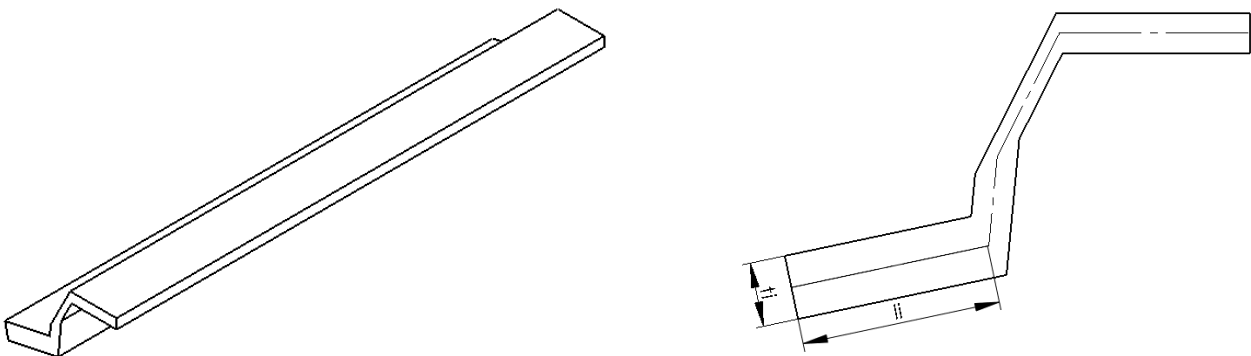
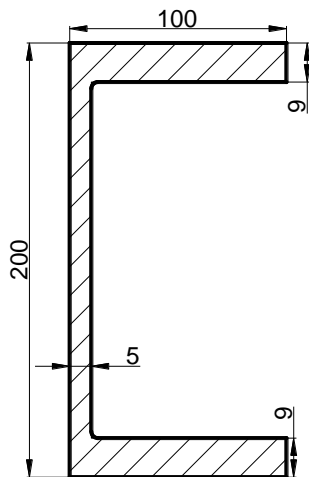


Figura 6-18 - Secção fina composta

6.5.1 Exemplo 6.7 - Secção em "C"



Calcular a tensão de corte máxima e o ângulo de torção da viga junta (Figura 6-19), feita de um Aço com $G=77.5\text{GPa}$. O momento torsor aplicado é de 600N.m .

Figura 6-19 - Secção em "C"

Resolução

Para este problema temos:
$$J = C \frac{1}{3} \sum_{i=1}^n I_i t_i^3 = \frac{1}{3} [2 \times (100 - 2.5)(9)^3 + (200 - 9)(5)^3] = 55300\text{mm}^4$$

onde C é o coeficiente de correlação. Neste caso $C \approx 1$ pois $l_i > 10t_i$

$$\tau_{\max} = \frac{T t_{\max}}{J} = \frac{600 \times 9}{55300} = 97.6\text{MPa} \quad \theta = \frac{T}{GJ} = \frac{600}{(77.5 \times 10^9) \times (55300 \times 10^{-12})} = 0.14\text{rad/m}$$

6.5.2 Exemplo 6.8 - Secção em "Z"

A secção da

Figura 6-20 é extrudida numa liga de Alumínio. Qual o binário máximo que é possível aplicar sabendo que $\tau_{\max} = 75\text{MPa}$.

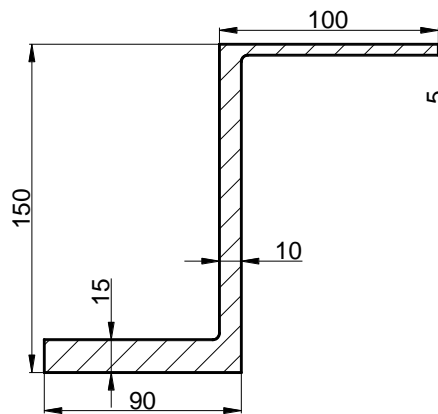


Figura 6-20 - secção em "z"

Resolução

Usando as expressões anteriores, temos:

$$J = C \frac{1}{3} \sum_{i=1}^n I_i t_i^3 = 0.91 \frac{1}{3} [(100 - 5)(5)^3 + (150 - 7.5 - 2.5)(10)^3 + (90 - 5)(15)^3] = 133100\text{mm}^4$$

Note-se que para o segmento inferior se tem $\frac{l}{t} = \frac{90 - 5}{15} = 5.7 < 10$ e portanto $C=0.91$

$$T = \frac{J \tau_{\max}}{t_{\max}} = \frac{133100 \times 10^{-12} \times 75 \times 10^9}{15 \times 10^{-3}} = 665.4\text{N.m}$$

6.6 Torção de perfis finos fechados

As secções finas fechadas constituem aquilo que vulgarmente se designa por um tubo.

De uma forma simplificada, a torção de perfis finos fechados pode ser estudada a partir do equilíbrio de forças provenientes das tensões de corte existentes na parede do tubo. Considere-se o tubo ao qual é aplicado um momento torsor T , Figura 6-21.

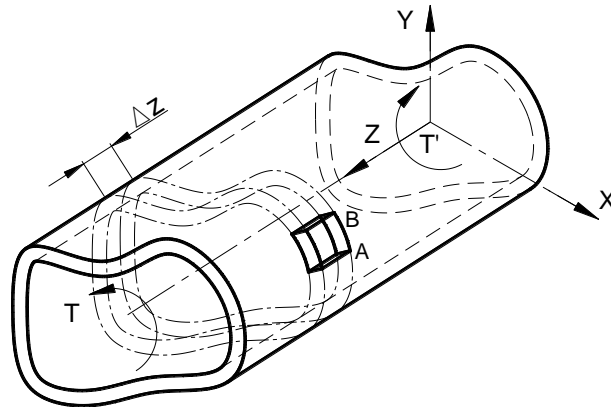


Figura 6-21 - Perfil fechado oco à torção.

Isolando um pedaço da parede desse tubo (Figura 6-22) a uma distância Δz , a soma das forças na direção longitudinal terá de ser nula, Eq. (6.38).

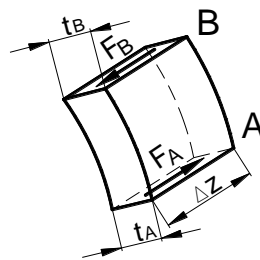


Figura 6-22 - Equilíbrio de forças numa parede elementar.

$$\sum F_z = 0 \Leftrightarrow F_A - F_B = 0 \quad \Leftrightarrow \quad \tau_A t_A \Delta z = \tau_B t_B \Delta z \Leftrightarrow \tau_A t_A = \tau_B t_B \quad (6.38)$$

Definindo a grandeza fluxo de corte (*shear flow*) como $q = \tau t$, a Eq. (6.38) traduz que na parede do tubo se tem o fluxo de corte constante, Figura 6-23.

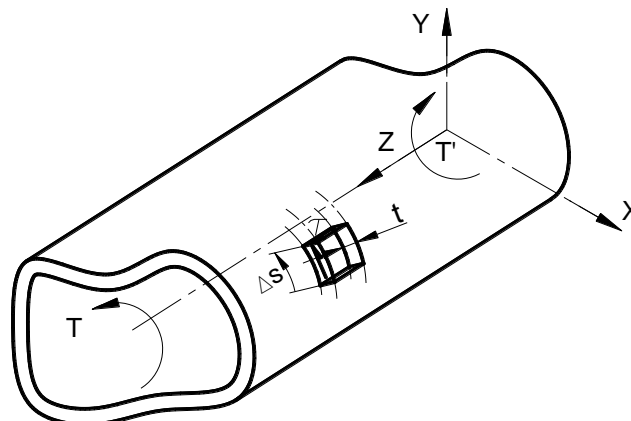


Figura 6-23 - Fluxo de corte.

Como não existem forças a atuar nas superfícies superior e inferior do elemento (parede interna e externa do tubo), significa que a tensão de corte é paralela à superfície da parede.

O momento dM_o criado em torno do ponto O é:

$$dM_o = p dF = p \tau dA = p(\tau t) ds = p q ds \quad (6.39)$$

Como a área $p ds = 2 d\Omega$, o momento torsor pode ser expresso como (Figura 6-24)

$$T = \oint dM_o = \oint q(2d\Omega) = 2q\Omega \quad (6.40)$$

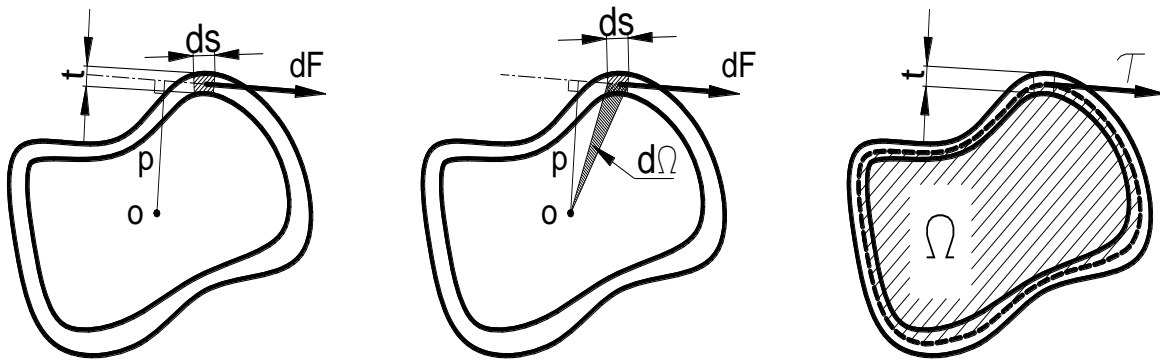


Figura 6-24 - Momento torsor em perfis finos fechados.

A expressão para o ângulo de torção /unidade de comprimento pode ser obtida por métodos energéticos, fora do âmbito deste texto, o seu resultado são as expressões (6.41) e (6.42).

$$\theta = \frac{T}{JG} = \frac{T}{G} \left(\frac{1}{4\Omega^2} \oint_s \frac{ds}{t} \right) \quad (6.41)$$

$$J = \frac{4\Omega^2}{\oint_s \frac{ds}{t}} \quad (6.42)$$

Nestas secções é frequente haverem diversos troços em que a espessura é constante, nesse caso o integral da Eq. (6.42) é calculado como um somatório:

$$\oint_s \frac{ds}{t} = \frac{S_1}{t_1} + \frac{S_2}{t_2} + \dots \quad (6.43)$$

Neste caso o integral pode ser calculado como

$$\oint_s \frac{ds}{t} = \frac{S_1}{t_1} + \frac{S_2}{t_2} + \dots = \frac{15+25+15}{2} + \frac{5+10+15+10+5}{1} = 72.5$$

Obtendo-se a constante de torção $J = \frac{4\Omega^2}{\oint_s \frac{ds}{t}} = \frac{4 \times 225^2}{72.5} = 2973 \text{mm}^4$

E finalmente $\theta = \frac{T}{JG} = \frac{20}{2973 \times 10^{-12} \times 80 \times 10^9} = 0.084 \text{ rad/m}$

6.7 Torção de Perfis Finos Multicelulares

Certos perfis usados em Engenharia são fechados e compostos por várias células, sendo por isso designados perfis finos multicelulares (Figura 6-27). Ao contrário dos perfis finos unicelulares, em que o problema era isostático sendo possível determinar o fluxo de corte ao longo da parede do perfil, no caso das secções multicelulares tal não acontece. É assim necessário encontrar o conjunto de equações de compatibilidade de deformação que permita resolver o problema.

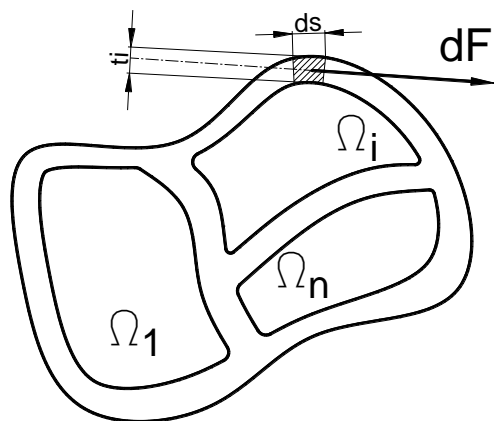


Figura 6-27 - Perfil fino multicelular.

Começa-se por reescrever a Eq. (6.40):

$$T = 2 \sum_{i=1}^n q_i \Omega_i \tag{6.44}$$

E a Eq. (6.41) para a célula i:

$$\theta_i = \frac{q_i}{2G\Omega_i} \oint_{S_i} \frac{ds_i}{t_i} \tag{6.45}$$

Fazendo notar que na parede comum entre duas células (Figura 6-28) o fluxo de corte tem sentidos opostos, então o ângulo de torção/unidade comprimento será dados pela Eq. (6.46).

$$\theta_i = \frac{1}{2G\Omega_i} \left(q_i \oint_{S_i} \frac{ds_i}{t_i} - q_1 \oint_{S_{i1}} \frac{ds_{i1}}{t_{i1}} - q_n \oint_{S_{in}} \frac{ds_{in}}{t_{in}} \right) \tag{6.46}$$

Em que S_{i1} e S_{in} são as paredes comuns entre a célula i e as células 1 e n. Note-se que o exemplo da Figura 6-28 pode ser generalizado obtendo-se a Eq. (6.47), em que k é o número de paredes comuns com a célula i. Além

disso, uma das hipóteses colocadas desde início é de que não há distorção no próprio plano da secção transversal, o que implica que o ângulo de torção/unidade comprimento de cada célula seja idêntico.

$$\theta_1 = \dots = \theta_i = \dots = \theta_n \equiv \theta$$

$$\theta \equiv \theta_i = \frac{1}{2G\Omega_i} \left(q_i \oint_{s_i} \frac{ds_i}{t_i} - \sum_{j=1}^k q_j \oint_{s_{ij}} \frac{ds_{ij}}{t_{ij}} \right) \quad (6.47)$$

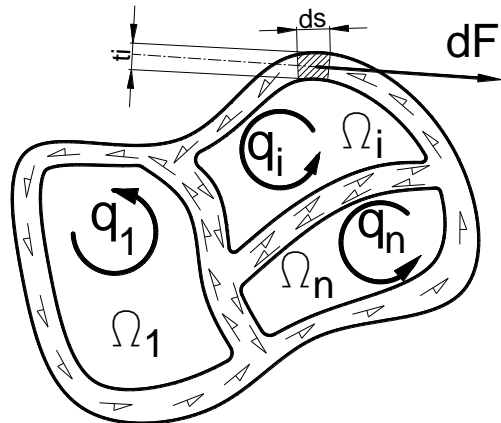


Figura 6-28 – Fluxo de corte em perfis multicelulares.

6.7.1 Exemplo 6.10 - Secção com 2 células

Um tubo longo (3m) numa liga de Alumínio ($G=27.1\text{GPa}$), é sujeito a um momento torsor $T=11\text{KN.m}$. As dimensões da secção transversal encontram-se na Figura 6-29.

Determinar a máxima tensão de corte e o ângulo de torção.

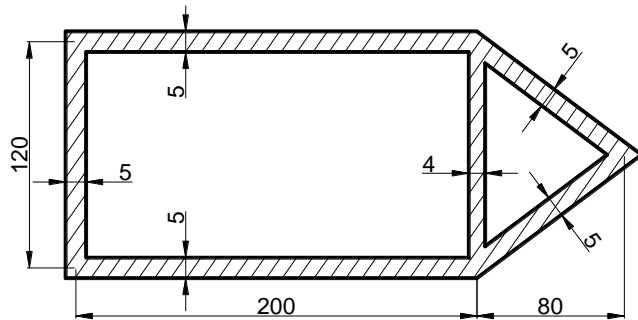


Figura 6-29 – Secção do Exemplo 6.10

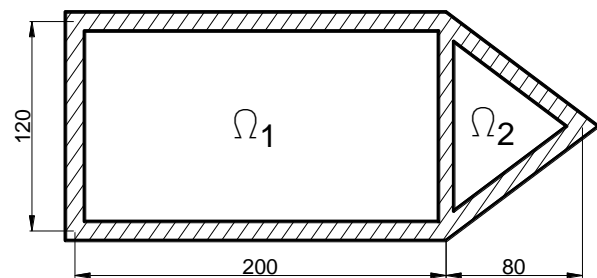
Resolução

O momento torsor (T) relaciona-se com o fluxo de corte (q_i) e com a área interna de cada célula (Ω_i) pela expressão (a).

$$T = 2 \sum_{i=1}^n q_i \Omega_i \quad (a)$$

Enquanto o ângulo de torção/unidade de comprimento em cada célula é dado por:

$$\theta_i = \frac{1}{2G\Omega_i} \oint_{s_i} \frac{q ds}{t} \quad (b)$$



A eq. (a) tem duas incógnitas (q_1 e q_2), pelo que teremos de encontrar mais uma equação. Como todas as células terão de torcer o mesmo ângulo/unidade de comprimento, surge a equação de compatibilidade de torção entre elas:

$$\frac{1}{2G\Omega_1} \oint_{s_1} \frac{q ds}{t} = \frac{1}{2G\Omega_2} \oint_{s_2} \frac{q ds}{t} = \dots \quad (c)$$

Que nos permite ter as equações necessárias à obtenção da solução do problema, os fluxos de corte q_i . Finalmente o ângulo de torção/unidade de comprimento é então

$$\theta = \frac{1}{2G\Omega_i} \left[q_i \oint_{s_i} \frac{ds}{t} - \sum_{j=1}^m \left(q_j \int_{s_{ji}} \frac{ds}{t} \right) \right] \quad (d)$$

Neste problema em concreto, temos:

$$\Omega_1 = 200 \times 10^{-3} \times 120 \times 10^{-3} = 24000 \times 10^{-6} \text{ m}^2$$

$$\Omega_2 = \frac{1}{2} 120 \times 10^{-3} \times 80 \times 10^{-3} = 4800 \times 10^{-6} \text{ m}^2$$

Da Eq. (a) $T = 2 \times (\Omega_1 q_1 + \Omega_2 q_2) \Leftrightarrow 48000 \times 10^{-6} q_1 + 9600 \times 10^{-6} q_2 = 11000 \quad (e)$

Da Eq. (c) obtemos a expressão (g). Note-se que na parede comum às duas células o fluxo de corte é a diferença entre q_1 e q_2 , o qual será positivo ou negativo dependendo do sentido da circulação.

$$\theta = \frac{1}{2G \times 24 \times 10^{-3}} \left[\frac{(200 + 120 + 200) q_1}{5} + \frac{120 (q_1 - q_2)}{4} \right] =$$

$$= \frac{1}{2G \times 4800 \times 10^{-6}} \left[\frac{(2 \times \sqrt{80^2 + 60^2}) q_2}{5} + \frac{120 (q_2 - q_1)}{4} \right] \quad (g)$$

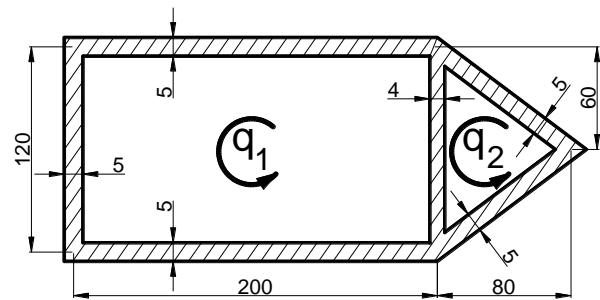


Figura 6-30 - Fluxos de corte do Exemplo 6.10

Simplificando os termos obtemos a equação $q_1 = 1.338 q_2 \quad (h)$

Resolvendo o sistema de equações (e) e (h),

$$\begin{cases} 48000 \times 10^{-6} q_1 + 9600 \times 10^{-6} q_2 = 11000 \\ q_1 = 1.338 q_2 \end{cases}$$

obtemos $q_1 = 199.4 \text{ N/mm}$ $q_2 = 149 \text{ N/mm}$

e de seguida a tensão de corte máxima:

$$\tau_{\max} = \left(\frac{q}{t} \right)_{\max} = \frac{q_1}{5} = 39.9 \text{ MPa}$$

O ângulo de rotação é

$$\alpha = \theta L = \frac{L}{2G\Omega_i} \left[q_i \oint_{s_i} \frac{ds}{t} - \sum_{j=1}^m \left(q_j \int_{s_{jr}} \frac{ds}{t} \right) \right] =$$

$$\frac{3}{2 \times 27.1 \times 10^9 \times 24000 \times 10^{-6}} \left[\frac{520 \times 199.4}{5} + \frac{120(199.4 - 149)}{4} \right] = 0.0513 \text{ rad}$$

Onde L é o comprimento do tubo (3m) e θ um dos termos da expressão (g), já que o ângulo de torção de cada uma das células é idêntico.

6.7.2 Exemplo 6.11 - Secção com 3 células

A secção fechada de parede fina tem espessura uniforme (Figura 6-31). Mostrar que nas paredes BC, CD e CF as tensões de corte devidas à torção são nulas.

Resolução

Como a espessura é constante, as áreas fechadas são:

$$\Omega_3 = 2\Omega_1 = 2\Omega_2$$

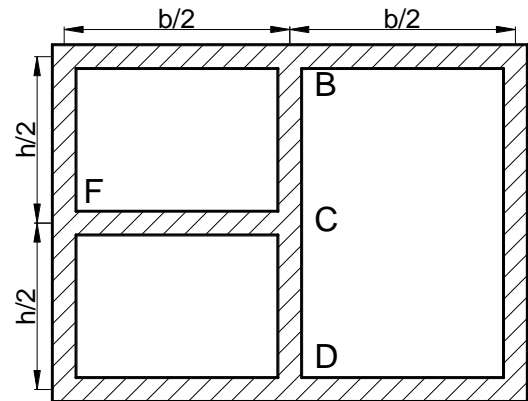


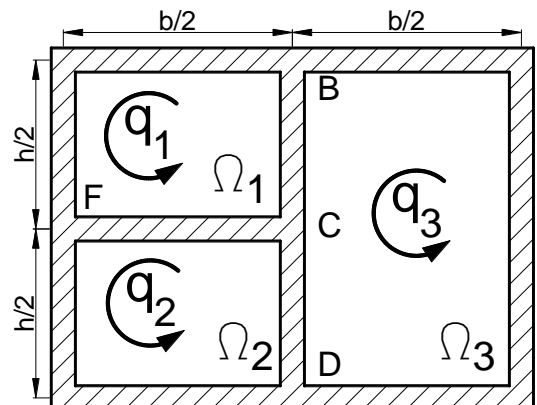
Figura 6-31 – Secção de 3 células.

As duas equações de compatibilidade que se aplicam são:

$$\theta = \frac{1}{2G \times \Omega_1 t} \left[q_1 \left(\frac{b}{2} + \frac{h}{2} \right) + (q_1 - q_2) \frac{b}{2} + (q_1 - q_3) \frac{h}{2} \right] =$$

$$= \frac{1}{2G \times \Omega_2 t} \left[q_2 \left(\frac{b}{2} + \frac{h}{2} \right) + (q_2 - q_1) \frac{b}{2} + (q_2 - q_3) \frac{h}{2} \right] =$$

$$= \frac{1}{2G \times \Omega_3 t} \left[q_3 \left(\frac{b}{2} + h + \frac{b}{2} \right) + (q_3 - q_1) \frac{h}{2} + (q_3 - q_2) \frac{h}{2} \right]$$



Que resultam em:

$$q_1 \left(\frac{b}{2} + \frac{h}{2} \right) + (q_1 - q_2) \frac{b}{2} + (q_1 - q_3) \frac{h}{2} = q_2 \left(\frac{b}{2} + \frac{h}{2} \right) + (q_2 - q_1) \frac{b}{2} + (q_2 - q_3) \frac{h}{2} \quad \Leftrightarrow \quad q_1 = q_2$$

$$q_1 \left(\frac{b}{2} + \frac{h}{2} \right) + (q_1 - q_2) \frac{b}{2} + (q_1 - q_3) \frac{h}{2} = \frac{1}{2} \left[q_3 \left(\frac{b}{2} + h + \frac{b}{2} \right) + (q_3 - q_1) \frac{h}{2} + (q_3 - q_2) \frac{h}{2} \right] \quad \Leftrightarrow \quad q_1 = q_3$$

Como $q_1 = q_2 = q_3$, significa que o fluxo de corte nas paredes comuns circula em oposição e consequentemente as tensões de corte são nulas nas paredes interiores.

6.8 Problemas sugeridos

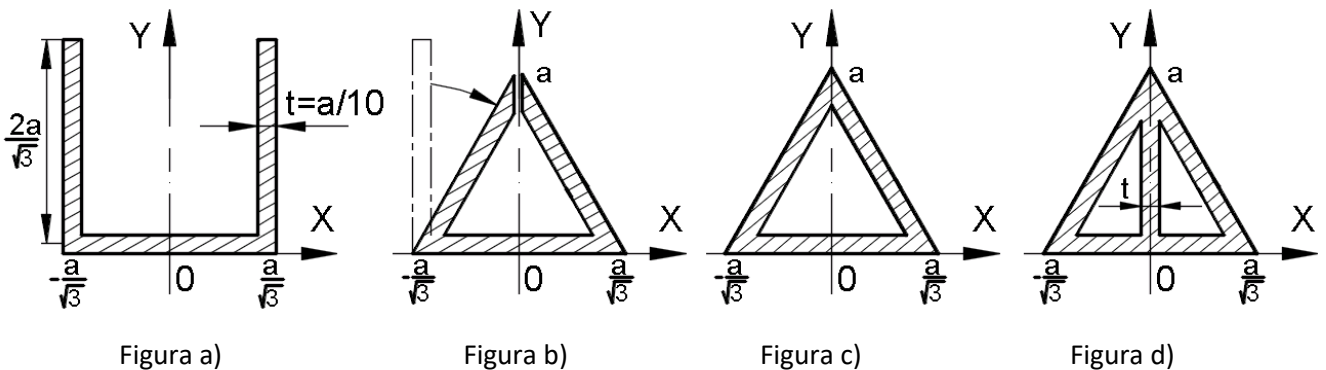
6.8.1 Problema 1

Deduza as expressões (6.8) para pequenos ângulos de rotação.

6.8.2 Problema 2 (Teste, ver Secção 9.8, página 202)

Considere um veio de parede fina de secção em “U” equilátera sujeito a um momento torsor T , conforme se mostra na figura a). A espessura da parede é $t = a / 10$:

- Determine a tensão de corte máxima e a rigidez torsional do veio.
- As abas verticais foram dobradas um pouco mais de forma a que a secção resulte num triângulo equilátero aberto, figura b). Determine a tensão de corte máxima e a rigidez torsional do veio neste caso.
- Realizou-se de seguida uma soldadura para que a secção resulte num triângulo equilátero fechado de parede fina, figura c). Determine a tensão de corte máxima e a rigidez torsional do veio neste caso.
- Para aumentar a rigidez torsional da alínea anterior, soldou-se uma placa de espessura t e altura a no interior do perfil anterior ligando um vértice ao meio do lado oposto, figura d). Qual a variação de rigidez torsional conseguida?



6.8.3 Problema 3

Mostre que a Função de Tensão de Prandtl (ϕ , Eq. (6.14)) satisfaz as Equações de equilíbrio

$$\tau_{xz} = \frac{\partial \phi}{\partial y} \quad \tau_{yz} = -\frac{\partial \phi}{\partial x}$$

6.8.4 Problema 4

Considere a torção de uma barra circular de raio R . Mostre que a função $\phi = \frac{1}{2}(R^2 - x_1^2 - x_2^2)$

é uma função tensão de Prandtl. Calcule a rigidez torsional da barra, e mostre que $J = I_p$. Calcule o estado de tensão associado e mostre que a tensão de corte resultante nos topos da barra é radial.

6.8.5 Problema 5

Considere dois veios com a mesma área da secção transversal e feitos do mesmo material linear elástico, um de secção circular e outro de secção elítica com relação 2:1 nos semieixos. Determine o cociente entre as tensões de corte máximas nos dois veios para:

- Igual momento de torção aplicado nos dois veios
- Igual ângulo de torção nos dois veios

6.8.6 Problema 6

Considere a célula base cuja secção transversal se mostra na Figura 6-32, obtida a partir de 3 chapas coladas entre si nas superfícies de contacto. Todas as chapas têm 1mm de espessura. A chapa do meio é quinada a 60° em intervalos de 70mm. O processo industrial de produção de placas estruturais consiste na repetição desta célula num padrão como se mostra na Figura 6-33.

O material das chapas é Aço ($G=70\text{GPa}$). O momento torsor aplicado é $T=10\text{ kN.m}$. Determine:

- A constante de torção desta célula. Justifique as aproximações que fizer.
- A tensão de corte máxima e indique onde ocorre. Justifique.
- O ângulo de torção/unidade de comprimento.
- Sabendo que a tensão de corte máxima deste Aço é $\tau_{\text{máx}} = 90\text{MPa}$, calcule o número mínimo de células para suportar o momento aplicado.

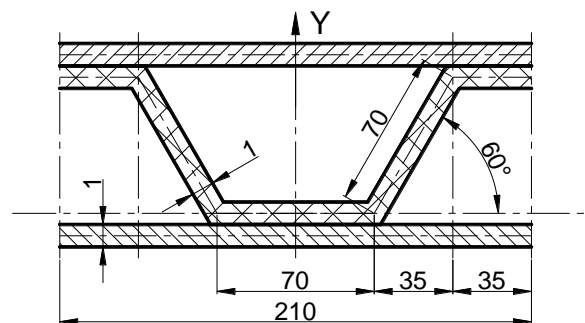


Figura 6-32 – Secção feita de chapas coladas entre si.

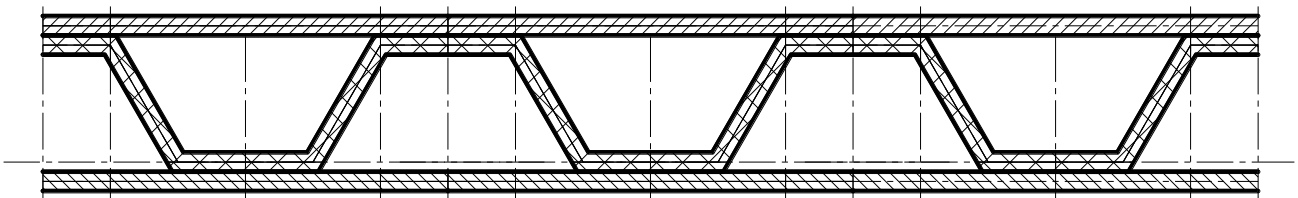


Figura 6-33 - Placa estrutural.

6.8.7 Problema 7

Considere as secções transversais da Figura 6-34, com as mesmas dimensões e feitas do mesmo material linear elástico. Considere que $a \ll t$.

Dados: $G=45\text{GPa}$ $R=50\text{mm}$ $t=2\text{mm}$

Calcule:

- O momento torsor máximo que se pode aplicar a cada um dos veios para que a tensão de corte máxima não ultrapasse 100MPa .
- O ângulo de torção/unidade de comprimento em cada caso da alínea anterior.

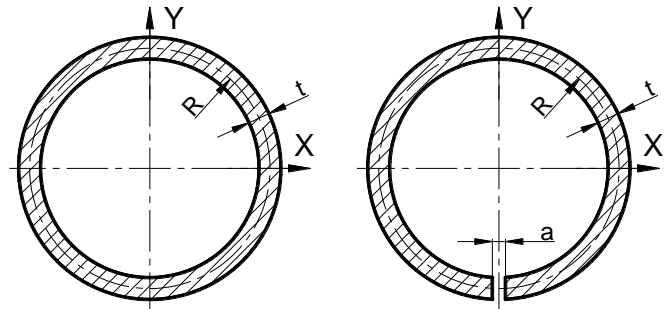


Figura 6-34 - Secções em anel.